



**POLITECNICO**  
MILANO 1863

# Introduzione all'Analisi di Missioni Spaziali

## Laboratorio 1

Gianmario Merisio  
Niccolò Faraco

[gianmario.merisio@polimi.it](mailto:gianmario.merisio@polimi.it)  
[niccolo.faraco@polimi.it](mailto:niccolo.faraco@polimi.it)

- Descrizione **elaborato finale**

- Laboratorio 1:

- Trasformazione **da cartesiane a parametriche** (*par2car*):

$$[\mathbf{r}, \mathbf{v}] \rightarrow [a, e, i, \Omega, \omega, \theta]$$

- Trasformazione **da parametriche a cartesiane** (*car2par*):

$$[a, e, i, \Omega, \omega, \theta] \rightarrow [\mathbf{r}, \mathbf{v}]$$

- **Rappresentazione** dell'orbita (*plotOrbit*)

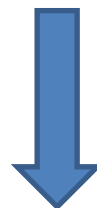
- **MATLAB** tips

- **Playgroud**

## FAC-SIMILE

### Punto su **orbita iniziale**

Punto iniziale (km, km/s)					
$r_x$	$r_y$	$r_z$	$v_x$	$v_y$	$v_z$
-1,14414030E+04	-7,20985180E+03	-1,30298510E+03	1,2140E+00	-1,7110E+00	-4,7160E+00



Trasferimento orbitale

### Punto su **orbita finale**

Punto finale (km, rad)					
$a$	$e$	$i$	$\Omega$	$\omega$	$\theta$
2,9930E+04	1,5160E-01	3,0250E+00	6,5460E-01	2,7820E+00	2,6190E+00

### Obiettivo:

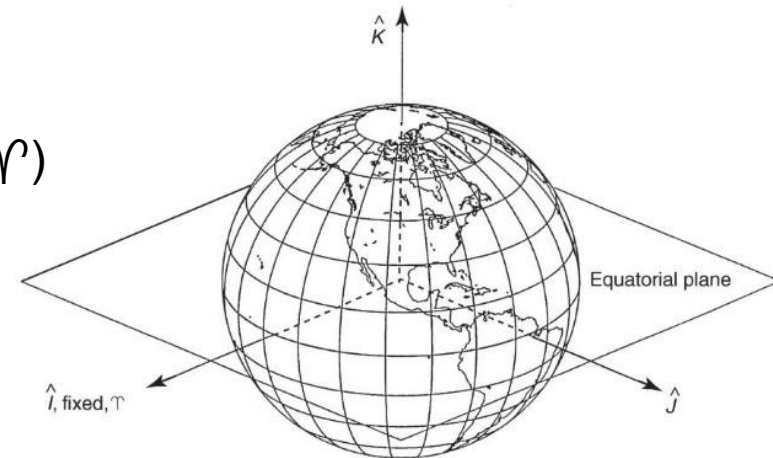
Progettare il trasferimento orbitale che permette al nostro satellite di spostarsi dal punto iniziale al punto finale.

## Obiettivo:

Dato un vettore di stato  $[\mathbf{r}, \mathbf{v}]$  in coordinate geocentriche inerziali (ECI), trovare i parametri kepleriani classici  $[a, e, i, \Omega, \omega, \theta]$  associati

## Sistema geocentrico inerziale (ECI)

- Sistema **inerziale**
- **Origine**: centro della **Terra**
- **Assi**:
  - $\hat{i}$  verso Equinozio di Primavera (punto  $\Upsilon$ )
  - $\hat{k}$  verso Polo Nord
  - $\hat{j}$  completa la terna



INPUT:  $[\mathbf{r}, \mathbf{v}], (\mu)$

1. Moduli di posizione e velocità

$$\begin{aligned} r &= \|\mathbf{r}\| \\ v &= \|\mathbf{v}\| \end{aligned}$$

2. Energia meccanica specifica e **semiasse maggiore**

$$\varepsilon = \frac{1}{2}v^2 - \frac{\mu}{r} = -\frac{\mu}{2a} \quad \rightarrow \quad a = \left( \frac{2}{r} - \frac{v^2}{\mu} \right)^{-1}$$

3. Vettore momento angolare specifico

$$\begin{aligned} \mathbf{h} &= \mathbf{r} \times \mathbf{v} \\ h &= \|\mathbf{h}\| \end{aligned}$$

**NOTA:** per i progetti  $\mu = 398600 \text{ km}^3/\text{s}^2$

## 4. Vettore eccentricità ed **eccentricità**

$$\mathbf{e} = \frac{\mathbf{v} \times \mathbf{h}}{\mu} - \frac{\mathbf{r}}{r}$$

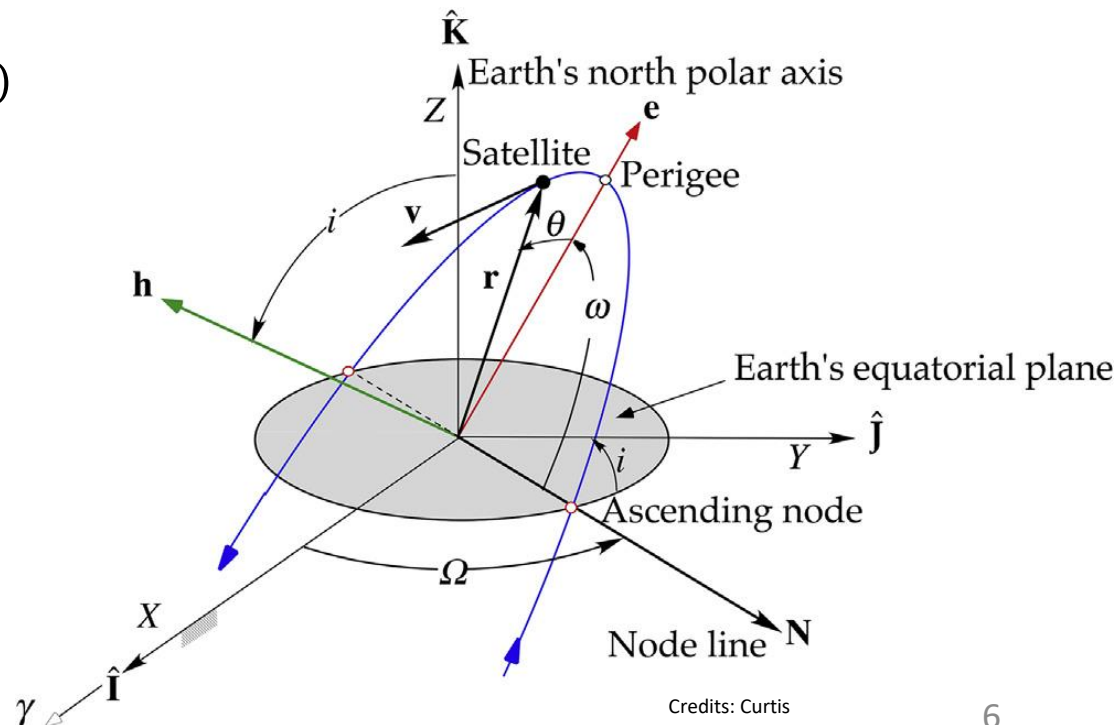
$$e = \|\mathbf{e}\|$$

## 5. **Inclinazione**

$$i = \text{acos}\left(\frac{\mathbf{h} \cdot \hat{\mathbf{k}}}{h}\right) \xrightarrow{\text{In MATLAB}} \mathbf{h} \cdot \hat{\mathbf{k}} = h(3)$$

## 6. Linea dei nodi

$$\mathbf{N} = \frac{\hat{\mathbf{k}} \times \mathbf{h}}{\|\hat{\mathbf{k}} \times \mathbf{h}\|}$$

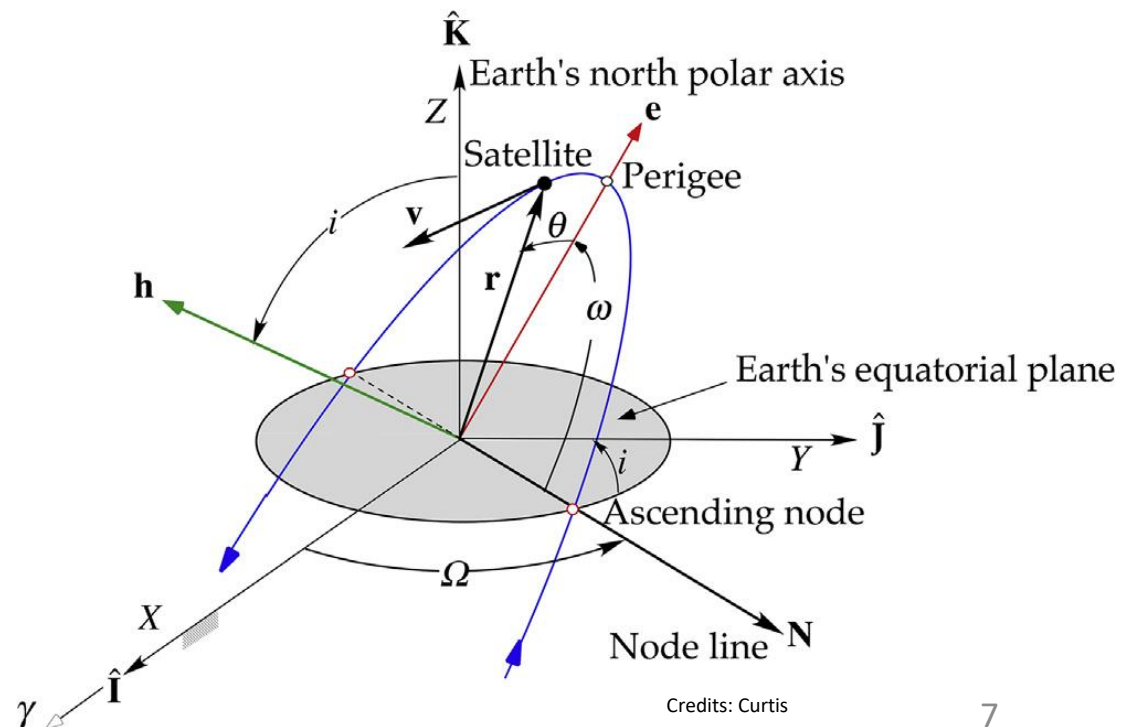


## 7. Ascensione retta del nodo ascendente (RAAN)

$$\Omega = \begin{cases} \text{acos}(N \cdot \hat{i}) & N \cdot \hat{j} \geq 0 \\ 2\pi - \text{acos}(N \cdot \hat{i}) & N \cdot \hat{j} < 0 \end{cases} \begin{matrix} \xrightarrow{\text{blue arrow}} N(2) \\ \downarrow N(1) \end{matrix}$$

## 8. Anomalia del pericentro

$$\omega = \begin{cases} \text{acos}\left(\frac{N \cdot e}{e}\right) & e \cdot \hat{k} \geq 0 \\ 2\pi - \text{acos}\left(\frac{N \cdot e}{e}\right) & e \cdot \hat{k} < 0 \end{cases} \begin{matrix} \downarrow e(3) \end{matrix}$$



## 9. Anomalia vera

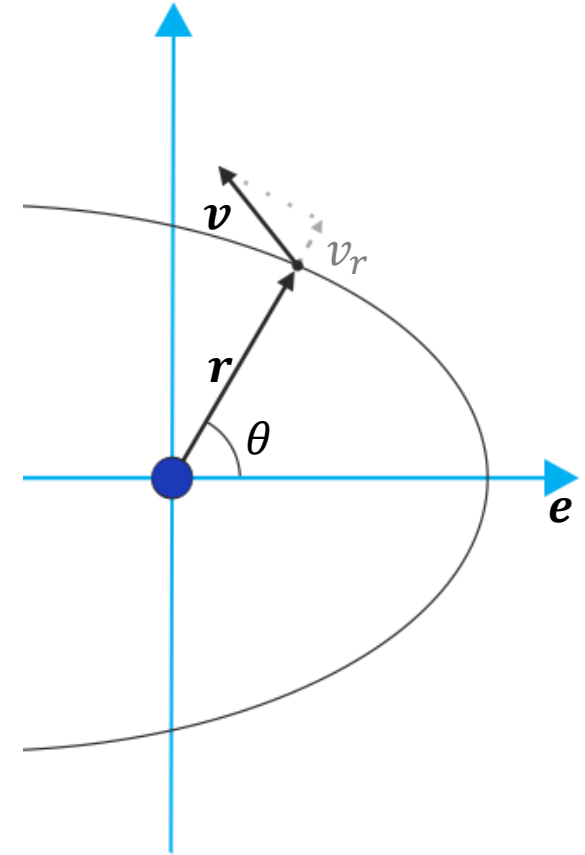
$$v_r = \frac{\mathbf{v} \cdot \mathbf{r}}{r}$$

Se  $v_r > 0$ , ci stiamo **allontanando** dal pericentro, quindi

$$\theta = \arccos\left(\frac{\mathbf{r} \cdot \mathbf{e}}{re}\right)$$

Se  $v_r < 0$ , ci stiamo **avvicinando** al pericentro, quindi

$$\theta = 2\pi - \arccos\left(\frac{\mathbf{r} \cdot \mathbf{e}}{re}\right)$$



OUTPUT:  $[a, e, i, \Omega, \omega, \theta]$



```
function [a, e, i, OM, om, th] = car2par(rr, vv, mu)
```

```
% Trasformation from cartesian coordinates to Keplerian parameters
%
% [a, e, i, OM, om, th] = car2par(rr, vv, mu)
%
% -----
% Input arguments:
% rr          [3x1]    position vector          [km]
% vv          [3x1]    velocity vector          [km/s]
% mu          [1x1]    gravitational parameter   [km^3/s^2]
%
% -----
% Output arguments:
% a           [1x1]    semi-major axis          [km]
% e           [1x1]    eccentricity             [-]
% i           [1x1]    inclination              [rad]
% OM          [1x1]    RAAN                    [rad]
% om          [1x1]    pericenter anomaly        [rad]
% th          [1x1]    true anomaly             [rad]
%
% -----
```

## Obiettivo:

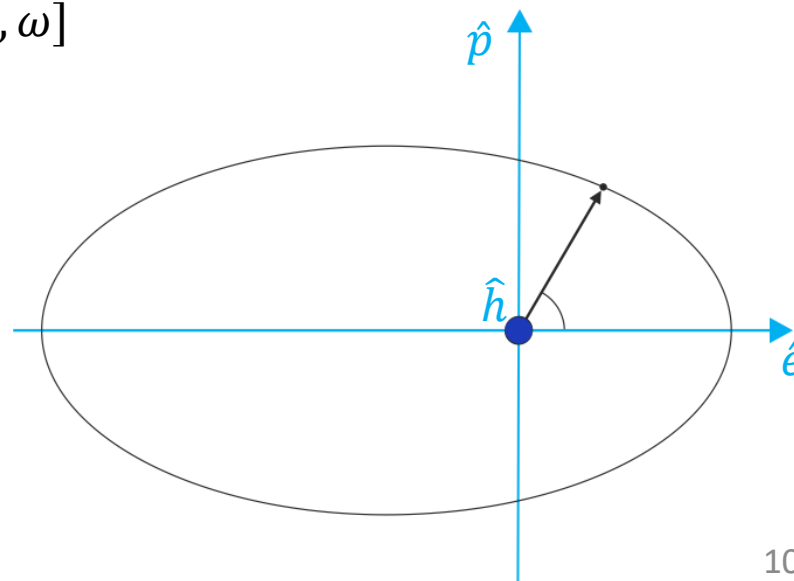
Dati i parametri kepleriani classici  $[a, e, i, \Omega, \omega, \theta]$ , trovare il vettore di stato  $[\mathbf{r}, \mathbf{v}]$  in coordinate geocentriche inerziali (ECI) associato

## Procedura

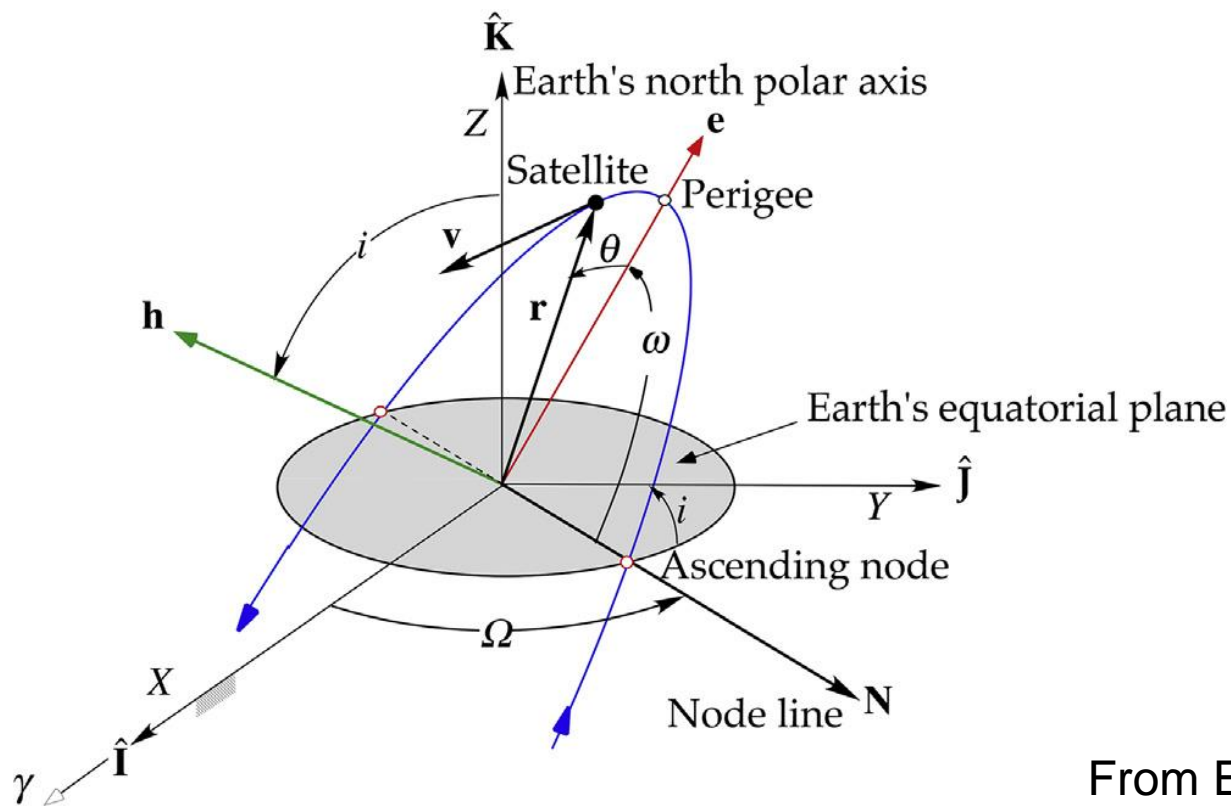
- Determinare il vettore di stato  $[\tilde{\mathbf{r}}, \tilde{\mathbf{v}}]$  nel sistema di riferimento perifocale (PF)  $[\hat{\mathbf{e}}, \hat{\mathbf{p}}, \hat{\mathbf{h}}]$  partendo dai parametri  $[a, e, \theta]$
- Ruotare il vettore  $[\tilde{\mathbf{r}}, \tilde{\mathbf{v}}]$  nel sistema di riferimento geocentrico inerziale (ECI) per ottenere  $[\mathbf{r}, \mathbf{v}]$ , utilizzando i parametri  $[i, \Omega, \omega]$

## Sistema perifocale (PF)

- **Origine:** fuoco *pieno* dell'orbita
- **Assi:**
  - $\hat{\mathbf{e}}$  versore eccentricità
  - $\hat{\mathbf{p}}$  direzione del semilato retto
  - $\hat{\mathbf{h}}$  versore momento angolare



## Panoramica dei sistemi di riferimento:



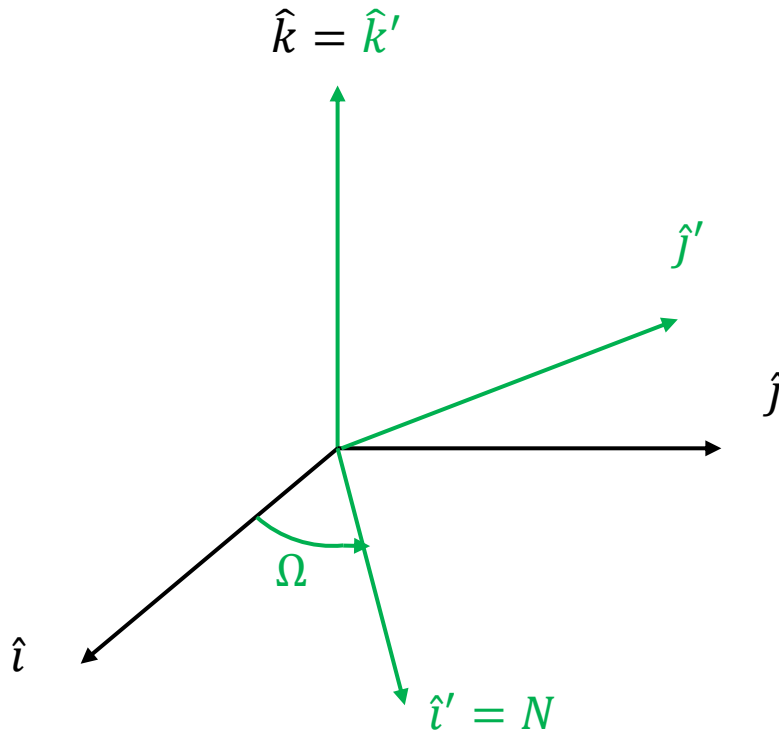
From ECI to PF:  
**3 rotations**

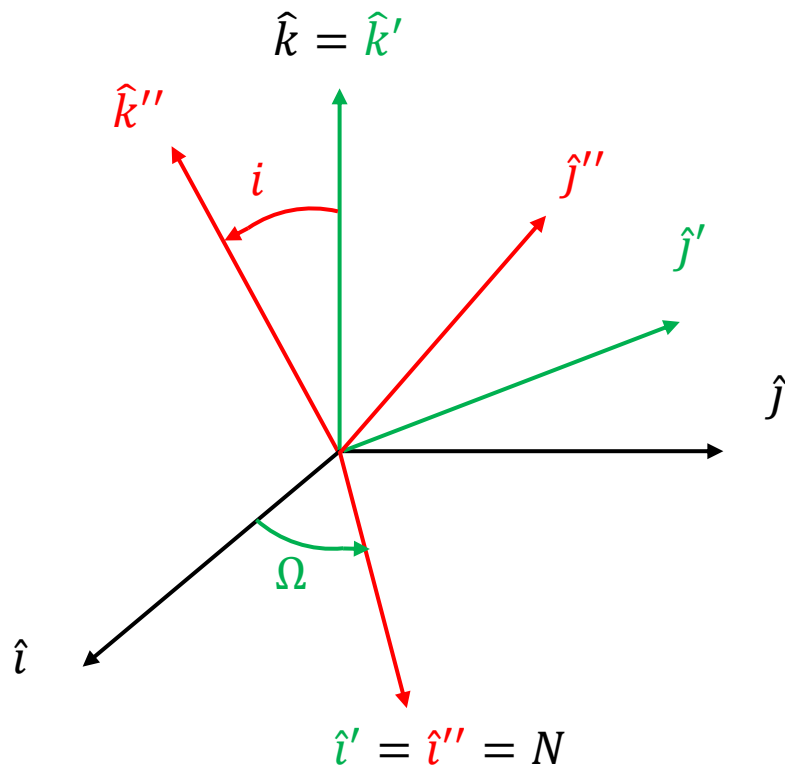
Geocentric inerziale (ECI):  $[\hat{i}, \hat{j}, \hat{k}]$



1) Rotazione di  $\Omega$  intorno a  $\hat{k}$

$$R_{\Omega} = \begin{bmatrix} \cos \Omega & \sin \Omega & 0 \\ -\sin \Omega & \cos \Omega & 0 \\ 0 & 0 & 1 \end{bmatrix}$$





Geocentric inerziale (ECI):  $[\hat{i}, \hat{j}, \hat{k}]$



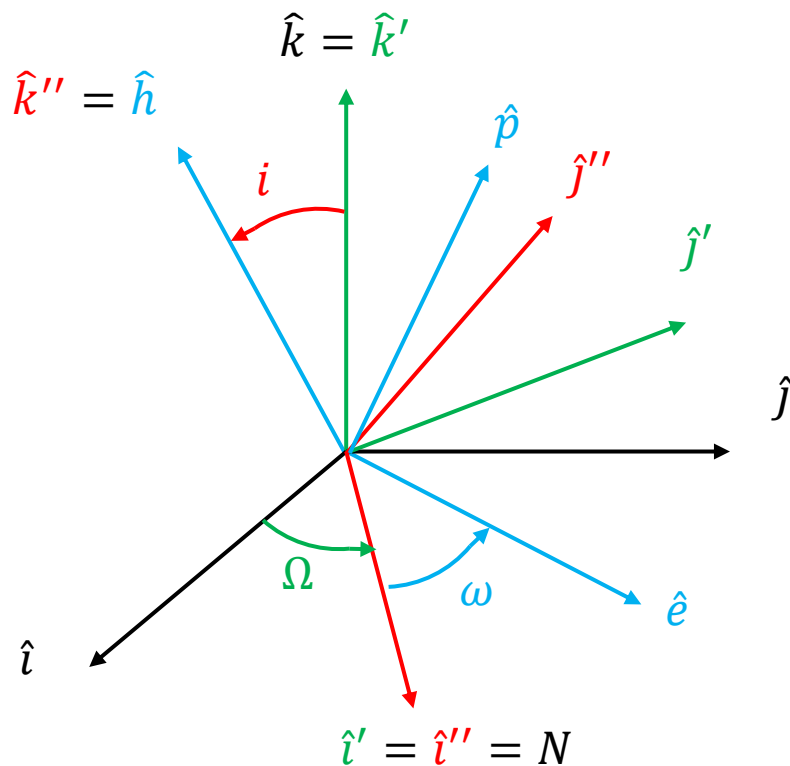
- 1) Rotazione di  $\Omega$  intorno a  $\hat{k}$

$$R_{\Omega} = \begin{bmatrix} \cos \Omega & \sin \Omega & 0 \\ -\sin \Omega & \cos \Omega & 0 \\ 0 & 0 & 1 \end{bmatrix}$$



- 2) Rotazione di  $i$  intorno a  $\hat{i}'$

$$R_i = \begin{bmatrix} 1 & 0 & 0 \\ 0 & \cos i & \sin i \\ 0 & -\sin i & \cos i \end{bmatrix}$$



Geocentric inerziale (ECI):  $[\hat{i}, \hat{j}, \hat{k}]$



- 1) Rotazione di  $\Omega$  intorno a  $\hat{k}$

$$R_{\Omega} = \begin{bmatrix} \cos \Omega & \sin \Omega & 0 \\ -\sin \Omega & \cos \Omega & 0 \\ 0 & 0 & 1 \end{bmatrix}$$



- 2) Rotazione di  $i$  intorno a  $\hat{i}'$

$$R_i = \begin{bmatrix} 1 & 0 & 0 \\ 0 & \cos i & \sin i \\ 0 & -\sin i & \cos i \end{bmatrix}$$

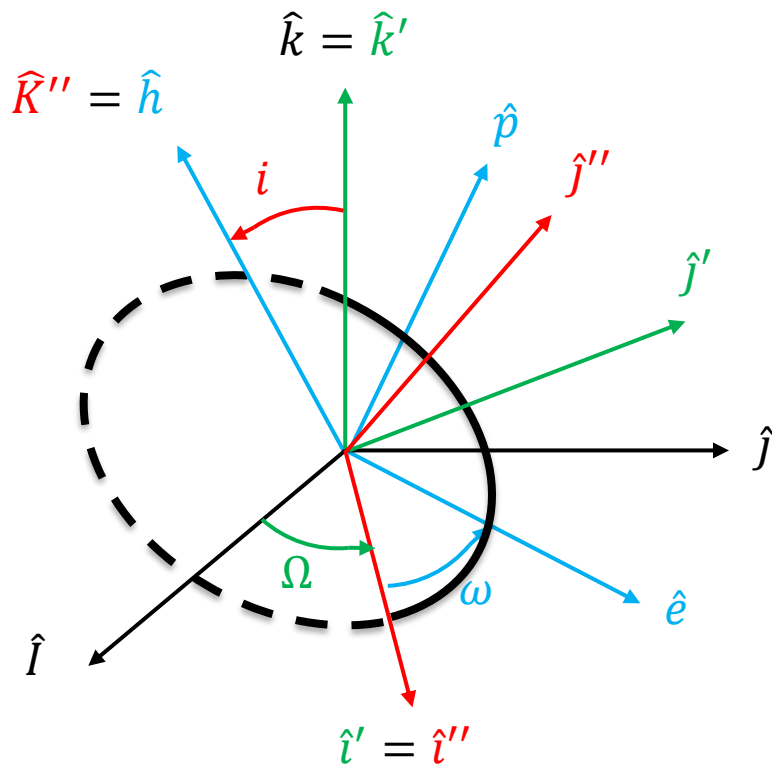


- 3) Rotazione di  $\omega$  intorno a  $\hat{k}''$

$$R_{\omega} = \begin{bmatrix} \cos \omega & \sin \omega & 0 \\ -\sin \omega & \cos \omega & 0 \\ 0 & 0 & 1 \end{bmatrix}$$

Sistema di riferimento perifocale (PF):

$[\hat{e}, \hat{p}, \hat{h}]$



## Matrice di rotazione totale

$$T_{ECI \rightarrow PF} = R_{\omega} R_i R_{\Omega}$$

$$T_{PF \rightarrow ECI} = T_{ECI \rightarrow PF}^T = R_{\Omega}^T R_i^T R_{\omega}^T$$

INPUT:  $[a, e, i, \Omega, \omega, \theta], (\mu)$

1. Semilato retto

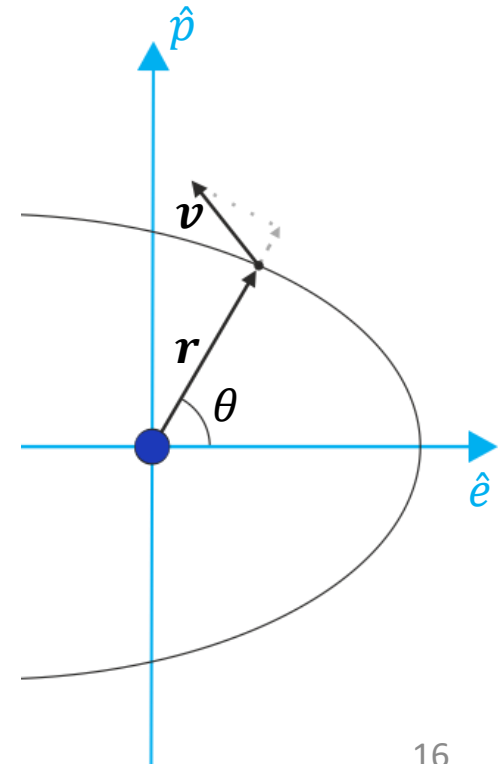
$$p = a(1 - e^2)$$

2. Modulo della posizione

$$r = \frac{p}{1 + e \cos \theta}$$

3. Vettore  $[\tilde{\mathbf{r}}, \tilde{\mathbf{v}}]$  (*vettore di stato in PF*)

$$\tilde{\mathbf{r}} = r \begin{bmatrix} \cos \theta \\ \sin \theta \\ 0 \end{bmatrix}$$
$$\tilde{\mathbf{v}} = \sqrt{\frac{\mu}{p}} \begin{bmatrix} -\sin \theta \\ e + \cos \theta \\ 0 \end{bmatrix}$$





### 4. Vettore $[r, v]$

$$T_{ECI \rightarrow PF} = R_{\omega} R_i R_{\Omega}$$

$$\mathbf{r} = T^T \tilde{\mathbf{r}}$$

$$\mathbf{v} = T^T \tilde{\mathbf{v}}$$

OUTPUT:  $[r, v]$

```
function [rr, vv] = par2car(a, e, i, OM, om, th, mu)
```

```
% Trasformation from Keplerian parameters to cartesian coordinates
%
% [rr, vv] = par2car(a, e, i, OM, om, th, mu)
%
% -----
% Input arguments:
% a          [1x1]    semi-major axis          [km]
% e          [1x1]    eccentricity             [-]
% i          [1x1]    inclination              [rad]
% OM         [1x1]    RAAN                    [rad]
% om         [1x1]    pericenter anomaly       [rad]
% th         [1x1]    true anomaly             [rad]
% mu         [1x1]    gravitational parameter [km^3/s^2]
%
% -----
% Output arguments:
% rr         [3x1]    position vector          [km]
% vv         [3x1]    velocity vector         [km/s]
```

## Obiettivo:

Dati i parametri kepleriani classici  $[a, e, i, \Omega, \omega]$ , l'anomalia vera iniziale e finale  $(\theta_0, \theta_f)$  e la *step size*  $\Delta\theta$ , plottare l'orbita tridimensionale punto per punto.

## Procedura

- Definire il vettore delle anomalie vere da  $\theta_0$  a  $\theta_f$  con passo  $\Delta\theta$
- Determinare il vettore di stato  $[\mathbf{r}, \mathbf{v}]_i$  per ogni  $\theta_i$ , dati i parametri kepleriani
- Plottare i vettori di stato in una figura

```
function plotOrbit(a, e, i, Om, om, th0, thf, dth, mu)

% 3D orbit plot
%
% plotOrbit(a, e, i, Om, om, th0, thf, dth, mu)
%
%-----
% Input arguments:
% a          [1x1]    semi-major axis          [km]
% e          [1x1]    eccentricity              [-]
% i          [1x1]    inclination               [rad]
% OM         [1x1]    RAAN                     [rad]
% om         [1x1]    pericenter anomaly        [rad]
% th0        [1x1]    initial true anomaly     [rad]
% thf        [1x1]    final true anomaly       [rad]
% dth        [1x1]    true anomaly step size   [rad]
% mu         [1x1]    gravitational parameter  [km^3/s^2]
```

## Don't reinvent the wheel!

MATLAB ha molte funzioni che ci semplificano la vita e che è inutile riscrivere. Es:

- *dot* – prodotto scalare
- *cross* – prodotto vettoriale
- *norm* – norma euclidea
- *rotx*, *roty*, *rotz* – matrici di rotazione (fate attenzione ai segni e gradi/rad!)
- *plot3* – 3D plot

## Be careful

Prestate attenzione alla scrittura del codice e a non fare confusione con i vettori riga e colonna.

Es: Dato un vettore  $\mathbf{a}[3 \times 1]$  e un vettore  $\mathbf{b}[1 \times 3]$ ,  $\mathbf{a} - \mathbf{b}$  restituirà una matrice 3x3

## Test the code

Verificate sempre i codici che scrivete!

Es: Provate a usare in sequenza *par2car-car2par* e viceversa.



Adesso, **DIVERTITEVI!**